

# 情報通信システム(特)論II

Information and Communication Systems II

## 第3回講義資料

Lecture notes 3

## 無線通信路と統計モデル1

Wireless Channels and Statistical Modeling 1

豊橋技術科学大学

Toyohashi University of Technology

電気・電子情報工学系

Department of Electrical and Electronic Information Engineering

准教授 竹内啓悟

Associate Professor Keigo Takeuchi

## 目標(Goal)

物理層における無線通信システムのほとんどは、物理法則に基づいて以下のシステムでモデル化できることを学ぶ。

Learn that almost all wireless communication systems in the physical layer can be modeled with the following system based on physical laws.

## 無線通信路の離散時間統計モデル(Discrete-time statistical model of wireless channels)

$$\mathbf{y} = \mathbf{H}\mathbf{x} + \mathbf{w}, \quad \mathbf{w} \sim \mathcal{CN}(\mathbf{0}, \sigma^2 \mathbf{I}_M)$$

$\mathbf{x} \in \mathbb{C}^N$ : 送信ベクトル(Transmitted vector)     $\mathbf{y} \in \mathbb{C}^M$ : 受信ベクトル(Received vector)

$\mathbf{H} \in \mathbb{C}^{M \times N}$ : 通信路行列(Channel matrix)

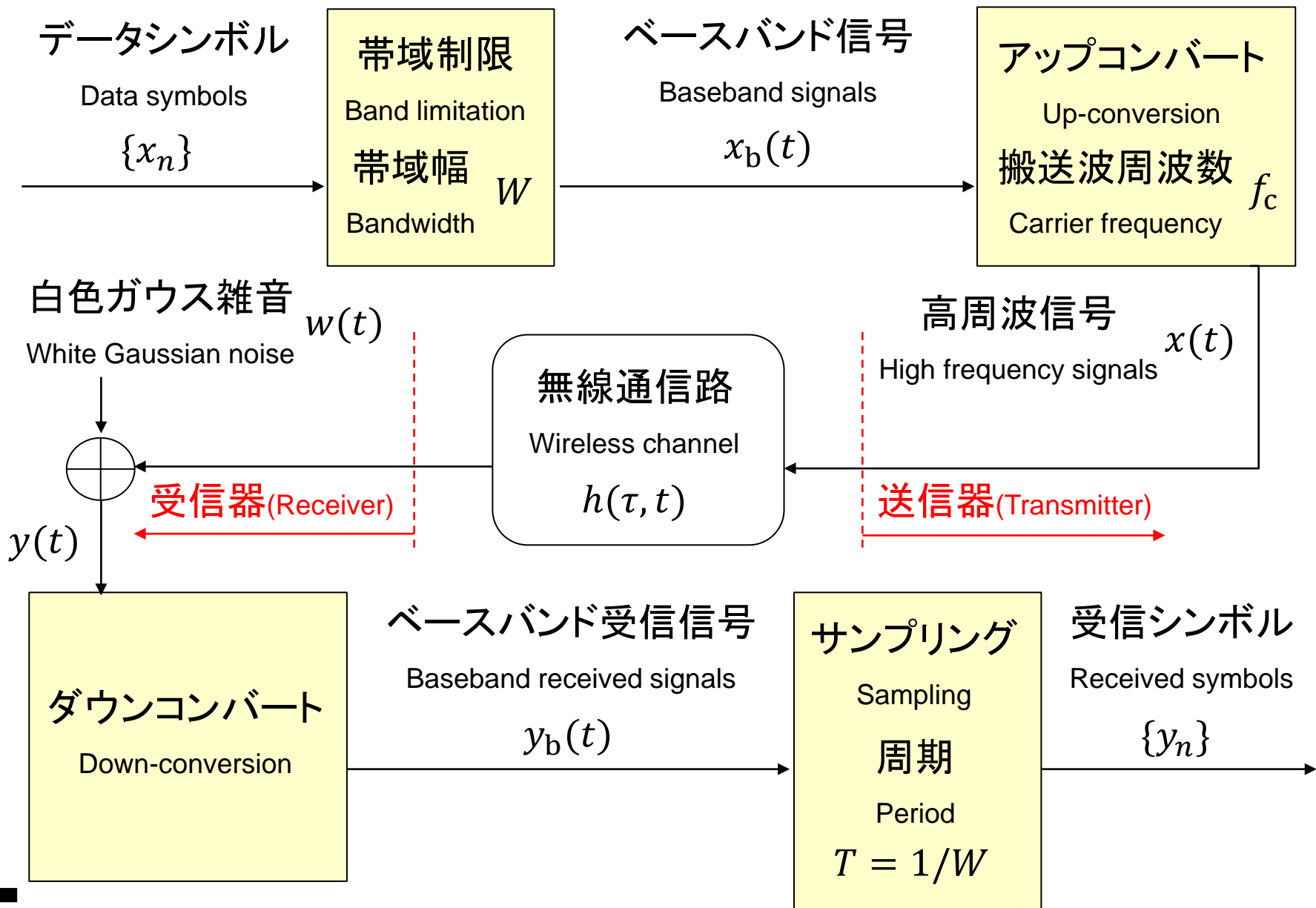
$\mathbf{w} \sim \mathcal{CN}(\mathbf{0}, \sigma^2 \mathbf{I}_M)$ : 加法的白色ガウス雑音(AWGN)ベクトル

Additive white Gaussian noise (AWGN) vector

## 統計的仮定(Statistical assumptions)

- 送信ベクトル $\mathbf{x}$ は平均 $\mathbf{0}$ である。(The transmitted vector  $\mathbf{x}$  is zero mean.)
- 確率変数 $\mathbf{H}$ 、 $\mathbf{x}$ 、 $\mathbf{w}$ は独立である。(H,  $\mathbf{x}$ , and  $\mathbf{w}$  are independent random variables.)

# 無線通信システムの概要 (Overview of wireless communication systems)



## フーリエ変換の性質 (Properties of the Fourier transform)

### フーリエ変換 (Fourier transform)

$$X(f) = \mathcal{F}[x(t)](f) = \int_{-\infty}^{\infty} x(t)e^{-2\pi jft} dt,$$



### 逆フーリエ変換 (Inverse Fourier transform)

$$x(t) = \mathcal{F}^{-1}[X(f)](t) = \int_{-\infty}^{\infty} X(f)e^{2\pi jft} df.$$

性質 1 (Property 1)  $\mathcal{F}^{-1}[X(f - a)](t) = e^{2\pi jat} x(t).$

性質 2 (Property 2)  $\mathcal{F}^{-1}[X(f)Y(f)](t) = \int_{-\infty}^{\infty} x(\tau)y(t - \tau)d\tau.$

デルタ関数 (Delta function)  $\int_{-\infty}^{\infty} f(x)\delta(x - a)dx = f(a).$

性質 3 (Property 3)  $\mathcal{F}[\delta(t)](f) = 1, \quad \int_{-\infty}^{\infty} e^{2\pi jft} df = \delta(t).$

## 離散時間ベースバンド表現(Discrete-time baseband representation)

時間領域(Time domain)

$$x_b(t) = \sum_n x_n p(t - nT),$$

$x_n$ : 無相関複素データシンボル

Uncorrelated complex data symbol

周波数領域(Frequency domain)

$$X_b(f) = \sum_n x_n e^{-2\pi j n f T} P(f)$$

$T$ : シンボル周期(Symbol period)



パルス $p(t)$ の自己相関関数(Autocorrelation function of the pulse  $p(t)$ )

$$g(t) \stackrel{\text{def}}{=} \int_{-\infty}^{\infty} p(\tau) p(\tau + t) d\tau$$

実パルス $p(t)$ が満たすべき条件(Conditions required for the real pulse  $p(t)$ )

対称性(Symmetry)  $p(-t) = p(t) \implies P(f) = P(-f) = P^*(f)$

帯域制限(Band limitation)  $P(f) = 0$  for  $f \notin [-W/2, W/2]$

ナイキスト基準(Nyquist criterion)

$$g(nT) = \begin{cases} 1 & \text{for } n = 0 \\ 0 & \text{for any non-zero integer } n \end{cases}$$

これらの条件を満たすパルスを **$T$ -直交パルス**と呼ぶ。

A pulse satisfying these conditions is called  **$T$ -orthogonal pulse**.

## ナイキスト基準の意義 (Significance of the Nyquist criterion)

### 整合フィルタ (Matched filter)

$$\begin{aligned} s(t) &= \int_{-\infty}^{\infty} p(\tau) x_b(t - \tau) d\tau = \sum_n x_n \int_{-\infty}^{\infty} p(\tau) p(t - \tau - nT) d\tau \\ &= \sum_n x_n g(t - nT) \end{aligned}$$

最後の等号は、 $p(t)$ と $g(t)$ が偶関数であることから従う。

The last equality follows from the fact that  $p(t)$  and  $g(t)$  are even.

### サンプリング (Sampling)

ナイキスト基準を使って、(Using the Nyquist criterion yields)

$$s_m \stackrel{\text{def}}{=} s(mT) = \sum_n x_n g((m - n)T) = x_m.$$

元のデータシンボルが得られる。(The original data symbol is obtained.)

## $T$ -直交パルスの例(Examples of $T$ -orthogonal pulses)

Sincパルス(Sinc pulse)  $p(t) = \text{sinc}\left(\frac{t}{T}\right) = \frac{\sin(\pi t/T)}{\pi t/T}$ .



$T = 1/W$ : 標本化定理(Sampling theorem)

## RRCパルス(Root-raised cosine (RRC) pulse)

$$P(f) = \sqrt{S(f)}$$

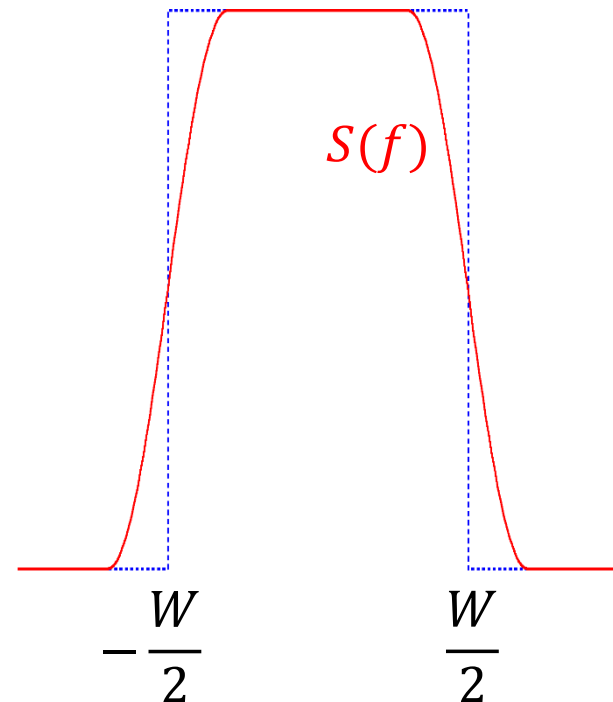
$$S(f) = \begin{cases} 1 & \text{for } |f| \leq (1 - \alpha)/(2T) \\ 0 & \text{for } |f| > (1 + \alpha)/(2T) \\ s(f) & \text{otherwise,} \end{cases}$$

$$s(f) = \frac{1}{2} \left\{ 1 + \cos \left[ \frac{\pi T}{\alpha} \left( |f| - \frac{1 - \alpha}{2T} \right) \right] \right\}$$

$\alpha \in [0, 1]$ : ロールオフ因子(Roll-off factor)

$$T = 1/\{W(1 + \alpha)\}$$

$p(t)$ は省略。(  $p(t)$  is omitted.)



自己相関関数  $g(t)$  のフーリエ変換が、電力スペクトル  $S(f)$  に等しい。

The Fourier transform of the autocorrelation function  $g(t)$  is equal to the power spectrum  $S(f)$ .

## ベースバンド信号(Baseband signals)



時間領域(Time domain)

$$x_b(t)$$

周波数領域(Frequency domain)

$$X_b(f) = 0 \text{ for } f \notin [-W/2, W/2]$$

どちらも複素関数である。(Both signals are complex functions.)

アップコンバート(Up-conversion)

$x_b(t)$ を $[f_c - W/2, f_c + W/2]$ に制限された実信号 $x(t)$ に変換する。

Transform the baseband signal to a  $[f_c - W/2, f_c + W/2]$ -limited real signal.

周波数領域(Frequency domain)

$$X(f) = X_b(f - f_c) + X_b^*(-f - f_c) \quad \therefore X(-f) = X^*(f)$$

時間領域(Time domain)

$$x(t) = e^{2\pi j f_c t} x_b(t) + e^{-2\pi j f_c t} x_b^*(t) = 2\Re[e^{2\pi j f_c t} x_b(t)]$$



## ベースバンド表現(Baseband representation)

### ダウンコンバート(Down-conversion)

受信信号 $y(t)$ をベースバンド信号 $y_b(t)$ に変換する。

Transform the received signal  $y(t)$  to a baseband signal  $y_b(t)$ .

### 周波数領域(Frequency domain)

### 時間領域(Time domain)

$$Y_b(f, t) = P(f)Y(f + f_c, t) \quad y_b(t) = \int_{-\infty}^{\infty} p(t - \tau)e^{-2\pi j f_c \tau} y(\tau) d\tau$$

### ベースバンド表現(Baseband representation)

通信路の周波数領域表現 $Y(f, t) = H(f, t)X(f)$ と $X(f)$ の定義を代入すると、

Substituting the frequency-domain representation of the channel and the definition of  $X(f)$  yields

$$Y_b(f, t) = P(f)H(f + f_c, t)\{X_b(f) + X_b^*(-f - 2f_c)\} = H(f + f_c, t)P(f)X_b(f)$$

**最後の等号**は、 $f \notin [-W/2, W/2]$ に対して $P(f) = 0$ から従う。

The **last equality** follows from  $P(f) = 0$  for  $f \notin [-W/2, W/2]$ .

$$y_b(t) = \int_{-\infty}^{\infty} e^{-2\pi j f_c \tau} h(\tau, t) s(t - \tau) d\tau, \quad H(f, t) = \int_{-\infty}^{\infty} h(\tau, t) e^{-2\pi j f \tau} d\tau,$$

$$s(t) \stackrel{\text{def}}{=} \mathcal{F}^{-1}[P(f)X_b(f)](t) = \int_{-\infty}^{\infty} p(\tau) x_b(t - \tau) d\tau.$$

## バンドパスフィルタ

(Bandpass filter)

$$P(f) = 0$$

$$\text{for } f \notin [-W/2, W/2]$$

## 離散時間ベースバンド表現(Discrete-time baseband representation)



以下の2式から、離散時間ベースバンド表現を導出する。

We shall derive a discrete-time baseband representation from the following two equations:

$$y_b(t) = \int_{-\infty}^{\infty} e^{-2\pi j f_c \tau} h(\tau, t) s(t - \tau) d\tau, \quad s(t) = \sum_n x_n g(t - nT).$$

## 離散時間受信シンボル(Discrete-time received symbol)

$$\begin{aligned} y_m = y_b(mT) &= \sum_n x_n \int_{-\infty}^{\infty} e^{-2\pi j f_c \tau} h(\tau, mT) g(mT - \tau - nT) d\tau \\ &= \sum_n h_{m, m-n} x_n \end{aligned}$$

## 通信路の離散時間インパルス応答(Discrete-time channel impulse response)

$$h_{m,n} = \int_{-\infty}^{\infty} h(\tau, mT) g(nT - \tau) e^{-2\pi j f_c \tau} d\tau$$

一般に、 $n < 0$ に対して  $h_{m,n} \neq 0$  (In general,  $h_{m,n} \neq 0$  for  $n < 0$ .)

行列表示すると、(In a matrix form,)  $\mathbf{y} = \mathbf{H}\mathbf{x}$ .

## 加法的白色ガウス雑音 (Additive white Gaussian noise (AWGN))

受信回路で発生する熱雑音は、AWGN  $w(t)$  としてモデル化される。



Thermal noise in receive circuits is modeled as AWGN  $w(t)$ .

$$\mathbb{E}[w(t)] = 0, \quad \mathbb{E}[w(t_1)w(t_2)] = N_0\delta(t_1 - t_2).$$

## ベースバンド表現 (Baseband representation)

$w(t)$  を  $w_b(t)$  に「ダウンコンバータ」する。(Down-convert  $w(t)$  to  $w_b(t)$ .)

$$w_b(t) = \int_{-\infty}^{\infty} p(t - \tau) e^{-2\pi j f_c \tau} w(\tau) d\tau, \quad \mathbb{E}[w_b(t)] = 0.$$

$w_b(t)$  は次の相関特性を持つ複素ガウス過程である。

$w_b(t)$  is a complex Gaussian process with the following correlation properties:

## 自己相関関数 (Autocorrelation function)

$$\begin{aligned} \mathbb{E}[w_b(t_1)w_b^*(t_2)] &= \int_{\mathbb{R}^2} p(t_1 - \tau) p(t_2 - \tau') e^{-2\pi j f_c \tau} e^{2\pi j f_c \tau'} N_0 \delta(\tau - \tau') d\tau d\tau' \\ &= N_0 \int_{-\infty}^{\infty} p(t_1 - \tau) p(t_2 - \tau) d\tau = N_0 g(t_1 - t_2). \end{aligned}$$

$\mathbb{E}[w_b(t_1)w_b(t_2)] = 0$  次ページを見よ。(See the next page.)

## 加法的白色ガウス雑音 (Additive white Gaussian noise (AWGN))



Proof of  $\mathbb{E}[w_b(t_1)w_b(t_2)] = 0$ .

$$\mathbb{E}[w_b(t_1)w_b(t_2)] = N_0 \int_{-\infty}^{\infty} p(t_1 - \tau)p(t_2 - \tau)e^{-4\pi j f_c \tau} d\tau$$

$p(t) = \int P(f)e^{2\pi j f t} df$ を代入すると、(Substituting  $p(t) = \int P(f)e^{2\pi j f t} df$  yields)

$$\begin{aligned}\mathbb{E}[w_b(t_1)w_b(t_2)] &= N_0 \int_{\mathbb{R}^3} P(f)P(f')e^{2\pi j f(t_1 - \tau) + 2\pi j f'(t_2 - \tau) - 4\pi j f_c \tau} d\tau df df' \\ &= N_0 \int_{\mathbb{R}^2} P(f)P(f')e^{2\pi j(f t_1 + f' t_2)} \delta(f + f' + 2f_c) df df' \\ &= N_0 \int_{-\infty}^{\infty} P(f)P(-f - 2f_c)e^{2\pi j\{f t_1 - (f + f_c)t_2\}} df = 0.\end{aligned}$$

離散時間表現 (Discrete-time representation)

パルスのナイキスト基準から、(The Nyquist criterion for the pulse implies)

$$w_m \stackrel{\text{def}}{=} w_b(mT), \quad \{w_m\} \sim \mathcal{CN}(\mathbf{0}, N_0 \mathbf{I})$$